

Počítačová grafika III (NPGR010)

Prednáška: Pathtracing I

Peter Hmíra
21. november, 2012

1 Úvod

Počas minulej prednášky bolo vysvetlené využitie metódy integrovania Monte Carlo. Medzi výhody tejto metódy patrí hlavne jej jednoduchá implementácia a robustnosť pre rôzne funkcie. Preto sa využíva na niekoľko renderovacích algoritmov, z ktorých teraz popíšeme *distribution ray-tracing* a *pathtracing*. Na začiatok si zopakujeme, ako bude vyzerat' estimátor pre *rovniciu odrazu*, ktorá má tvar

$$L_o(x, \omega_o) = L_e(x, \omega_o) + \int_H L_i(x, \omega_i) f_r(x, \omega_i \rightarrow \omega_o) \cos \theta_i d\omega_i \quad (1)$$

Pre ňu príslušný estimátor pri rovnomernom vzorkovaní smerov bude

$$\hat{L}_o(x, \omega_o) = L_e(x, \omega_o) + \frac{2\pi}{N} \sum_{k=1}^N L_i(x, \omega_{i,k}) f_r(x, \omega_{i,k} \rightarrow \omega_o) \cos \theta_{i,k} \quad (2)$$

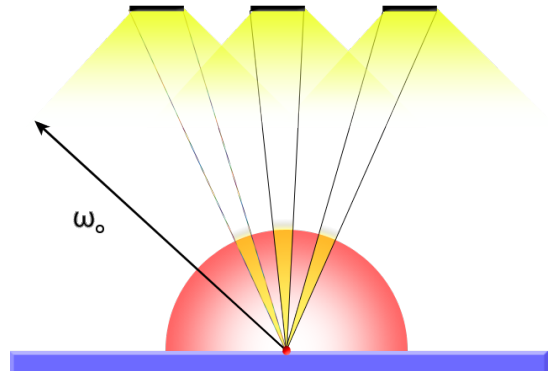
Kde

- x je bod na scéne, v ktorom chceme vypočítat' radianciu
- ω_o je priestorový uhol medzi smerom odchádzajúcej radiancie a normálou na povrchu v bode x
- ω_i je priestorový uhol medzi smerom prichádzajúcej radiancie a normálou na povrchu v bode x
- $L_o(x, \omega_o)$ je výsledná odchádzajúca radiancia z bodu x v smere ω_o
- $L_e(x, \omega_o)$ je radiancia, ktorá vyžarovaná (*emitovaná*) z bodu x v smere ω_o
- $L_i(x, \omega_i)$ je radiancia, ktorá dopadá na bod x pod uhlom ω_i
- $f_r(x, \omega_i \rightarrow \omega_o)$ je príslušná hodnota *BRDF* v bode x
- θ_i je elevácia - vertikálna zložka uhla ω_i
- N je počet vzorkov pri výpočte estimátoru
- 2π vyplýva z hustoty pravdepodobnosti $p(x)$, ktorá sa v prípade uniformného vzorkovania hemisféry rovná $p(x) = \frac{1}{2\pi}$ a po úprave estimátoru hodnotou $\frac{1}{p(x)}$ dostávame v menovateli 2π

ešte si pripomenieme tvar *zobrazovacej rovnice*, ktorá má tvar

$$L_o(x, \omega_o) = L_e(x, \omega_o) + \int_H L_o(r(x, -\omega_i), \omega_i) f_r(x, \omega_i \rightarrow \omega_o) \cos \theta_i d\omega_i \quad (3)$$

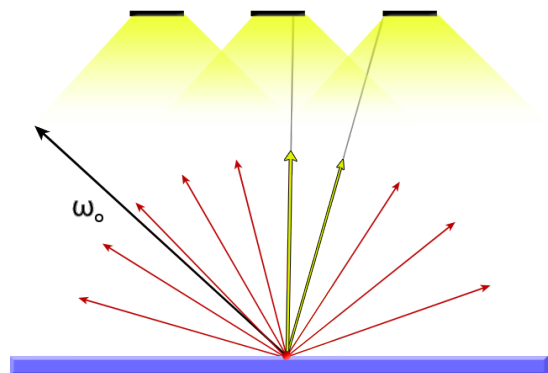
Načrtneme v 2D, ako môžu uvedené estimátory pomôcť pri odhadovaní odrazenej radiancie.



Obr. 1: hemisféricko-smerový odraz

Na obrázku č. 1 máme 3 plošné zdroje svetla, povrch je vyznačený modrou a spomínaný bod x je vyznačený červenou farbou. Červený gradient predstavuje pomyselnú jednotkovú guľu, na ktoré sa premietne plocha svetiel zo scény a na nej žltou vyznačený úsek, odkiaľ na bod x dopadá nejaké svetlo, ktoré je následne odrazené v smere ω_o . Na výpočet radiance odrazenej v smere ω_o by sme potrebovali spočítat' (v 3D plošný) integrál žltého úseku na guľi, čo môže byť v niektorých scénach príliš komplikované počítat' analyticky.

V takom prípade je efektívnejšie použiť metódu vzorkovania, vygenerovať niekoľko vzorkov do hemisféry a pomocou metódy *Monte Carlo* vypočítat' odhad hodnoty odrazenej radiance z bodu x v smere ω_o čo je $L_o(x, \omega_o)$, ktoré chceme dostať. V našom 2D príklade si vygenerujeme uniformne 10 smerov a ak trafíme nejaký svetelný zdroj, dosadíme do vzťahu (2) a pričítame príspevok.



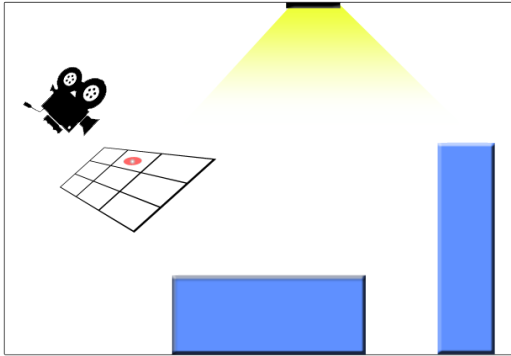
Obr. 2: uniformné vzorkovanie hemisféry

Na obrázku č. 2 je 10 vygenerovaných smerov (červenou) z čoho 2 sa trafili do svetla (žltou), ostatné ich nezasiahli. Ako je vidno, pre nízky počet vzorkov je metóda veľmi nepresná.

2 Distribution ray-tracing

Predchádzajúci náčrt počíta čisto len s priamym osvetlením, neuvažuje radianci, ktorá dopadá do bodu x po odraze od scény (prípadne viac odrazoch).

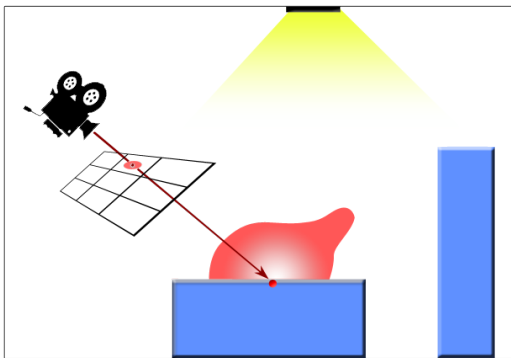
Predstavme si scénu, kde je daná pozícia kamery, objektov a svetiel v scéne. Pre každý pixel nás zaujíma hodnota radiance, ktorá ide v smere od bodu x skrz pixel do kamery.



Obr. 3: scéna

Predpokladajme, že naša obrazovka má len 3×3 pixelov a scéna je nakonfigurovaná ako na obrázku č. 3. Na stropě je jedno plošné svetlo, modrou farbou sú objekty a mriežka nech je naša obrazovka a na nej červenou je vyznačený pixel, skrz ktorý vedieme smer. Celá scéna nech je vo vnútri uzavretého boxu.

Ved' me najprv smer od kamery skrz pixel.



Obr. 4: prvý odraz

Nájdem najbližší priesečník so scénou, to bude hľadaný bod x na obrázku č. 4 zobrazený červenou. Červený lalok vyjadruje priebeh funkcie BRDF v bode x pre vstupný smer. Priebeh funkcie BRDF budeme neskôr potrebovať pri generovaní ďalších smerov.

V tomto prípade nás zaujíma hodnota radiance, ktorá prichádza z bodu x do kamery. Jej hodnotu algoritmus *distribution raytracing* vyhodnocuje ako súčet radiance, ktorá je z bodu x emitovaná a radiance, ktorá je z bodu x odrazená. Algoritmus odhaduje zvlášť hodnotu iradiancie, prichádzajúcej do bodu x priamo zo svetiel v scéne a zvlášť, hodnotu, ktorá dopadá do bodu x nepriamo po odraze.

2.1 Priame osvetlenie na ploche s obecnou BRDF

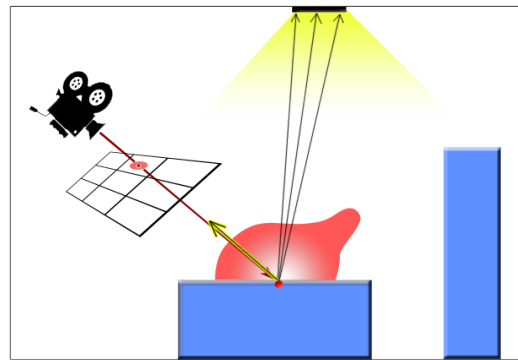
Odhadovaný integrál

$$L_o(x, \omega_o) = \int_A L_e(x \rightarrow y) f_r(y \rightarrow x \rightarrow \omega_o) V(x \leftrightarrow y) G(x \leftrightarrow y) dA \quad (4)$$

Príslušný estimátor pre uniformné vzorkovanie plochy zdroja svetla bude mať tvar

$$\hat{L}_o(x, \omega_o) = \frac{|A|}{N} \sum_{k=1}^N L_e(y_k \rightarrow x) f_r(y_k \rightarrow x \rightarrow \omega_o) V(x \leftrightarrow y_k) G(x \leftrightarrow y_k) \quad (5)$$

Kde y_k je k -ta vzorka na plošnom svetle. Zvoľme si na našej scéne $N := 3$ tj. vygenerujeme na svetle v scéne (uniformne) 3 vzorky y_1, y_2, y_3 .



Obr. 5: vzorkovanie svetla

Na obrázku č. 5 je žltou šípkou vyznačený odchádzajúci smer ω_o , pre ktorý vypočítame odrazenú radianci.

2.2 Nepriame osvetlenie na ploche s obecnou BRDF

Odhadovaný integrál

$$L_o^{ind}(x, \omega_o) = \int_{H(x)} L_r(r(x, \omega_i) - \omega_i) f_r(x, \omega_i \rightarrow \omega_o) \cos\theta_i d\omega_i \quad (6)$$

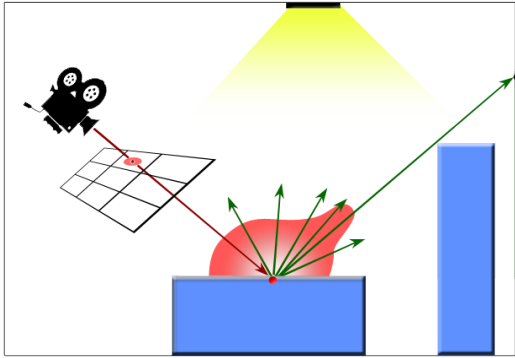
Príslušný estimátor pre vzorkovanie smeru s hustotou $p(\omega)$ ktorá je podobná BRDF

$$\hat{L}_o^{ind}(x, \omega_o) = \frac{1}{N} \sum_{k=1}^N \frac{L_r(r(x, \omega_{i,k}) - \omega_{i,k}) f_r(x, \omega_{i,k} \rightarrow \omega_o) \cos\theta_{i,k}}{p(\omega_{i,k})} \quad (7)$$

Kde $r(x, \omega_i)$ je priesečník so scénou v smere ω_i s počiatkom v bode x . $-\omega_i$ je smer opačný k smeru ω_i , teda $L_r(r(x, \omega_i), -\omega_i)$ je radiance odrazená z bodu $r(x, \omega_i)$ v smere k bodu x .

Algoritmus *distribution raytracing* nájde príslušné body $r(x, \omega_i)$ tak, že náhodne vygeneruje N smerov ω_i a nájde najbližší priesečník so scénou.

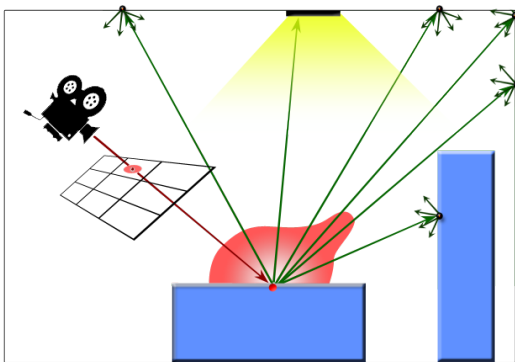
Zvoľme si $N := 6$. Vygenerujeme si 6 smerov $\omega_{i,1}$ až $\omega_{i,6}$ s hustotou pravdepodobnosti podľa BRDF. Pre každý smer vypočítame nový priesečník so scénou, odkiaľ zoberieme príspevok radiance, ktorý dopadá do bodu x .



Obr. 6: nepriame osvetlenie

Na obrázku č. 6 sú zelenou vyznačené smery $\omega_{i,k}$, ktoré generujeme od bodu x s hustotou podľa BRDF (podľa červeného laloku). Tie pretne so scénou a nájdeme bod $r(x, \omega_{i,k})$, nazvime ho bod y_k .

Aby sme vypočítali hodnotu $\hat{L}_o^{ind}(x, \omega_o)$, potrebujeme v každom bode y_k vypočítať radiáciu $L_r(y_k, -\omega_{i,k})$, ktorá dopadá do bodu x z y . Tú odhadneme presne tak, ako sme odhadovali $L_o(x, \omega_o)$ pre priame osvetlenie - tiež vygenerujeme N ďalších smerov a rekurzívne pokračujeme ďalej až po pevne zvolenú maximálnu hĺbku rekurzie.



Obr. 7: 2. level rekurzie

Na obrázku č. 7 je znázornená 2. úroveň rekurzie. Všimneme si, že ak v každom bode vygenerujeme N paprskov a nech hĺbka rekurzie je m , tak zložitosť algoritmu bude narastať exponenciálne vzhľadom k m .

2.3 Implementácia

Algorithm 1 Distribution raytracing

Require: *scene, pixels, camPos, N*

```

1: function RENDER()
2:   for each pixel in pixels do
3:     for k = 1 to N do
4:        $\omega_k :=$  náhodný smer skrz pixel
5:       pixelCol += GetLi(camPos,  $\omega_k$ )
6:     end for
7:   end for
8: end function

1: function GETLI( $x, \omega_i$ )
2:    $\triangleright x$  je v len prvej úrovni rekurzie pozícia kamery
3:   hit := najbližší priesečník so scénou( $x, \omega_i$ )
4:    $\omega_o := -\omega_i$ 
5:    $y :=$  hit.pos
6:   if žiadny priesečník then return Farba Pozadia
7:   else
8:      $L_o := (0, 0, 0)$ 
9:     for k = 1 to N do
10:       $\omega_k :=$  SAMPLEDIR(hit)
11:       $\triangleright \omega_k$  vygenerujeme s nejakou hustotou pdf( $\omega_k$ )
12:       $L_o +=$ 
13:        getLi( $y, \omega_k$ ) *  $f_r(y, \omega_k, \omega_o)$  * dot(hit.n,  $\omega_k$ ) / pdf( $\omega_k$ )
14:     end for
15:   return  $L_o / N +$  DIRECTLIGHTING( $y, \omega_o$ )
16:   end if
17: end function

```

Ak by sme to mali celé zhrnúť, obrázok č. 4 odpovedá riadkom 4-5 v metóde RENDER() a 3-5 v metóde GETLI(). Výpočet priameho osvetlenia, ktorý je popísané v odseku 2.1 a naznačený na obrázku č. 5 je zahrnutý v metóde DIRECTLIGHTING() (riadok 15 v metóde GETLI()). Výpočet nepriameho osvetlenia, ktorý je popísaný v odseku 2.2 v implementácii odpovedá riadkom 9-14 v metóde GETLI().

2.4 Ukončenie rekurzie

Ako vidíme z implementácie, z každého bodu algoritmus vyberie N vzorkov z ktorých následne rekurzívne pokračuje ďalej, z čoho vyplýva exponenciálna zložitosť v závislosti na hĺbke rekurzie.

Ďalší problém nastáva pri ukončení rekurzie. Jedna z možností je, že fixne obmedzíme algoritmu hĺbku rekurzie a druhá, že si nastavíme minimálny príspevok, pri ktorom sa ďalší krok vykoná. Obe možnosti nám spôsobujú, že algoritmus **nie je** neutranný.

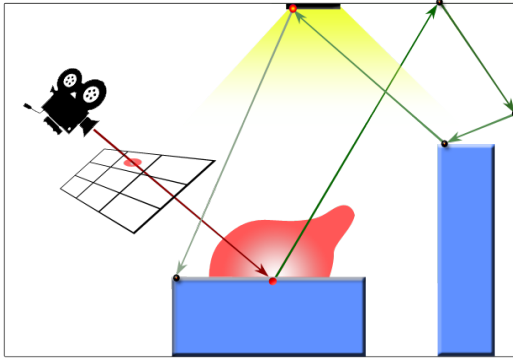
Oba tieto problémy rieši algoritmus *pathtracing*.

3 Pathtracing

Na rozdiel od *distributed ray-tracingu* algoritmus sleduje len jednu cestu s odrazmi až k svetelnému zdroju. Pri odrazoch si môže zvolit' z interakcií s povrchom (lesklý odraz, lom svetla) a patrične im nastavovať váhu. Od váh nakoniec závisí aj moment ukončenia rekurzie z čoho plynie neutrannosť algoritmu. Pre každý pixel vygeneruje niekoľko stoviek ciest, ktoré nakoniec spriemeruje.

3.1 Implementácia

Na rozdiel od *distribution raytracingu* sa rekurzia zmení



Obr. 8: 1 iterácia pathtracing-u pre hĺbku 6

Metóda Render() bude vyzerat' rovnako ako v prípade ray tracingu, líšiť sa bude v metóde GetLi(). Následujúca metóda nebude rekurzívna, nakoľko neprebehne vetvenie cesty, tak sa zmení na jednoduchý while cyklus.

Algorithm 2 Pathtracing

```

1: function GETLI( $x, \omega_i$ )
2:    $\triangleright x$  je v len prvej úrovni rekurzie pozícia kamery
3:   Color  $thrput := (1, 1, 1)$ 
4:   Color  $accum := (0, 0, 0)$ 
5:    $y := hit.pos$ 
6:   while True do
7:     if žiadny priesečník then
8:       return  $accum + thrput * Farba Pozadia$ 
9:     end if
10:    if  $hit$  je na svetle then
11:       $accum += thrput * L_e(hit.pos, -\omega_k)$ 
12:    end if
13:    if RAND() <  $\rho$  then
14:       $\triangleright \rho$  je použitá ako pravdepodobnosť prežitia cesty
15:       $\triangleright$  RAND() vygeneruje náhodne číslo od 0 do 1
16:       $\omega_k := SAMPLEDIR(hit)$ 
17:       $\triangleright \omega_k$  vygenerujeme s nejakou hustotou  $pdf(\omega_k)$ 
18:       $thrput *=$ 
19:         $f_r(y, \omega_k, \omega_o) * dot(hit.n, \omega_k) / (\rho * pdf(\omega_k))$ 
20:       $x := hit.pos$ 
21:       $\omega_i := \omega_k$ 
22:    else
23:      break
24:    end if
25:  end while
26: end function

```

3.2 Ukončenie rekurzie - ruská ruleta

Ruská ruleta je nestranný algoritmus, ktorý pokračuje s pravdepodobnosťou q a váhu upraví faktorom $\frac{1}{q}$, čo nám zaručuje nestrannosť.

$$E[Z] = \frac{E[Y]}{q} + 0 \cdot \frac{1}{q-1} = E[Y] \quad (8)$$

Za pravdepodobnosť prežitia cesty q môžeme použiť čokoľvek, algoritmus bude vždy nestranný. V praxi za q dosadzujeme práve

odrazivosť, ako je uvedené v pseudokóde. Ak plocha odrazí napr. 30%, rekurzia skončí s pravdepodobnosťou 70% a s pravdepodobnosťou 30% bude pokračovať.

4 Výber náhodného smeru

V oboch algoritmoch sa nachádza metóda SampleDir(*hit*) [pathtracing - 16. riadok]. Doteraz sme vedeli len, že je to nejaká metóda, ktorá vygeneruje z bodu x paprsek v náhodnom smere ω_i . Pre nás sú dôležité v prvom rade tie, odkiaľ je možno očakávať vysoký príspevok svetla, preto jednotlivé príspevky generujeme s nejakou hustotou, ktorá nám pomôže sa skôr dopracovať k výsledku. Ideálne by bolo, keby sme vedeli generovať vzorky s hustotou, ktorá je úmerná $L_i f_r(\omega_i, \omega_o) \cos \theta_i$, čo ale nedokážeme nakoľko nepoznáme L_i . Najčastejším riešením je preto generovať smer ω_i z rozdelenia, ktorého hustota je podobná členu $f(\omega_i, \omega_o) \cos \theta_i$, alebo len $f(\omega_i, \omega_o)$.

4.1 BRDF importance sampling

Pre ideálne vzorkovanie BRDF je PDF pre vygenerovaný smer $p(\omega_i)$ platí

$$p(\omega_i) = \frac{f_r(\omega_i \rightarrow \omega_o) \cdot \cos \theta_i}{\int_{H(x)} f_r(\omega_i \rightarrow \omega_o) \cdot \cos \theta_i d\omega} \quad (9)$$

Všimneme si však, že normalizačný člen je presne rovný veličine, ktorú už poznáme: hemisfericko-smerovej odrazivosti $\rho(\omega_o)$. Rovnicu (9) môžeme prepísať ako

$$p(\omega_i) = \frac{f_r(\omega_i \rightarrow \omega_o) \cdot \cos \theta_i}{\rho_{\omega_o}} \quad (10)$$

V obecnom prípade je váha (throughput) cesty pri každom odraze násobena členom (viď pseudokód path traceru 18-19. riadok):

$$thrput* = \frac{f_r(\omega_i \rightarrow \omega_o) \cdot \cos \theta_i}{\rho * p(\omega_i)} \quad (11)$$

Čo ak spojíme s rovnicou (10), dostávame

$$thrput* = 1 \quad (12)$$

Pokiaľ teda použijeme „ideálne“ BRDF importance sampling, t.j. ak budeme generovať smery z rozloženia s hustotou danou rovnicou (9), a pokiaľ budeme aplikovať ruskú ruletu s pravdepodobnosťou prežitia rovnou odrazivosti plochy, potom platí rovnica (12). Teda, váha cesty sa pri jej trasovaní scénou nijak nemení, všetky spočítané príspevky prispievajú k výslednému pixelu rovnakou váhou. To je dobrá stratégia, pretože by sme určite nechceli investovať výpočet do vrhania paprsku, ktoré budú k pixelom prispievať s malinkou váhou - to by bolo plytvanie výpočtovým časom. V praxi je často obtiažné dosiahnuť ideálneho BRDF importance samplingu s hustotou presne podľa rovnice (9), no použitie hustoty 'podobnej' BRDF zaručí, že váha cesty sa nebude príliš meniť a path tracer bude fungovať dobre.

4.2 Multiple importance sampling

V prednáške o Monte Carlo metódach sme si uviedli, že jedným z najdôležitejších spôsobov zníženia rozptylu estimátorov je vzorkovanie podľa dôležitosti (importance sampling). Podstatou tejto metódy je použiť pre generovanie náhodných vzorkov rozdelenie s hustotou, ktorá blízko kopíruje tvar integrovanej funkcie.

Metóda *Monte Carlo* nám umožňuje aproximovať integrály v tvare $\int f(x)dx$. Často sa ale stretávame s integrálmi tvaru $\int f(x)g(x)dx$, pričom nemáme techniku, ktorá vypočíta PDF ktorá bude úmerná $f(x) \cdot g(x)$ a máme možnosť použiť vzorkovacia techniku len podľa $f(x)$ alebo len podľa $g(x)$.

V prípade rovnice odrazu:

$$L_o(\omega_i, x) = L_e(x, \omega_o) + \int_{H(x)} L_i f_r(x, \omega_i \rightarrow \omega_o) \cos\theta_i dx \quad (13)$$

Potrebujeme vypočítať integrál:

$$\int_{H(x)} L_i f_r(x, \omega_i \rightarrow \omega_o) \cos\theta_i dx \quad (14)$$

Ak máme možnosť vzorkovať podľa L_i alebo podľa f_r sa stretáme s mnohými prípadmi, kde len jedna z týchto techník nebude stačiť, alebo bude vracať výsledky s veľkou odchýlkou (v prípade obrazu šum).

Predstavme si prípad, kde materiál je „takmer zrkadlový“ a svetlo s veľmi veľkou plochou. Ak budeme vzorkovať podľa L_i , tj. vybrať náhodne z plochy svetla, je veľmi nízka pravdepodobnosť, že sa trafíme práve do úzkeho intervalu smerov $U(\omega_i)$, ktorý je materiál schopný odraziť v smere ω_o s nejakou nezanedbateľnou radiáciou. Ak budeme mať ešte silnejší predpoklad, a to že materiál je „dokonale zrkadlový“, budeme mať len jeden prípustný smer ω_i . Ten však nami zvolená technika nikdy nevygeneruje. V týchto prípadoch bude lepšie použiť vzorkovanie podľa f_r .

Naopak, predpokladajme, že materiál je „dokonale difúzny“ a svetlo s veľmi malou plochou. Ak budeme vzorkovať podľa L_i , tj. vybrať náhodne smery z celej hemisféry, opäť dostávame veľmi nízku pravdepodobnosť, že trafíme zdroj svetla. Aj v tomto prípade môžeme mať silnejší predpoklad, a to keď svetelný zdroj bude *zanedbateľne* malý - môžeme ho zjednodušiť až na bodový svetelný zdroj. V tomto prípade technika vzorkovania nikdy nevygeneruje smer, kde sa trafí práve do bodu, kde je umiestnené svetlo, preto bude lepšie použiť techniku z prvého prípadu.

Presne tieto problémy rieši *Multiple importance sampling*. Ak sú dve distribúcie p_f a p_g použité na aproximáciu integrálu $\int f(x)g(x)dx$, nový estimátor bude vyzeráť

$$\frac{1}{n_f} \sum_{i=1}^{n_f} \frac{f(X_i)g(X_i)w_f(X_i)}{p_f(X_i)} + \frac{1}{n_g} \sum_{i=1}^{n_g} \frac{f(Y_i)g(Y_i)w_g(Y_i)}{p_g(Y_i)} \quad (15)$$

Kde n_f je počet vzorkov vygenerovaných s hustotou p_f , n_g počet vzorkov vygenerovaných s hustotou p_g a nakoniec w_f a w_g sú špeciálne váhové funkcie zvolené tak, aby estimátor vo výsledku mal strednú hodnotu $\int f(x)g(x)dx$.

Overíme nestrannosť. Nech $w_i(x)$ je daná váhová funkcia pre zvolenú stratégiu i (tj. v predchádzajúcom prípade $i \in \{f, g\}$):

$$E[F] = \dots = \int \left[\sum_{i=1}^n w_i(x) \right] f(x)g(x)dx \equiv \int f(x)g(x) \quad (16)$$

Za predpokladu, ak váhové funkcie sú zvolené tak aby

$$\sum_{i=1}^n w_i(x) = 1 \quad (17)$$

Táto rovnosť musí platiť pre ľubovoľnú x vo vnútri integračného oboru integrálu $\int f(x)g(x)dx$.

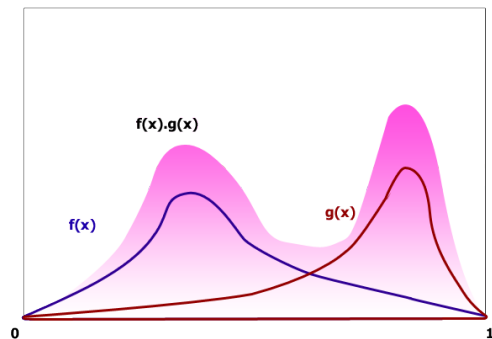
4.3 Vyrovnaná heuristika

Akákolvek voľba váh, ktorá nám dáva nestranný výsledok je vhodná pre *Multiple importance sampling*. Ak využijeme aritmetický priemer, dostávame jeden z najhorších možných výsledkov, nakoľko sa dokonale prejaví nedostatky oboch techník.

Pre toto je lepšia *vyrovnaná heuristika*, kde sa zoberú do úvahy všetky ostatné techniky a ich pravdepodobnosti, ktoré by vygenerovali. Predpis pre váhy vo vyrovnanej heuristike je

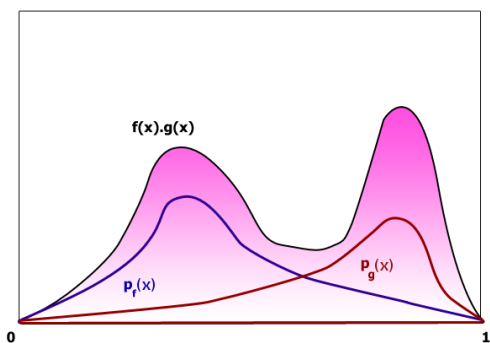
$$w_i(x) = \frac{p_i(x)}{\sum_k p_k(x)} \quad (18)$$

Predpokladajme teda funkciu $f(x)g(x)$.



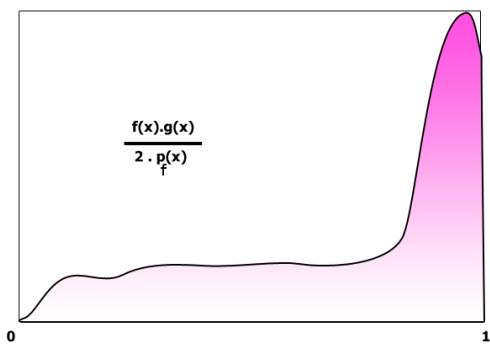
Obr. 9: priebeh funkcie $f(x)g(x)$ ako súčin funkcií $f(x)$ a $g(x)$

Ďalej máme k funkcii $f(x)$ príslušnú vzorkovacia funkciu $p_f(x)$ a k funkcii $g(x)$ vzorkovacia funkciu $p_g(x)$

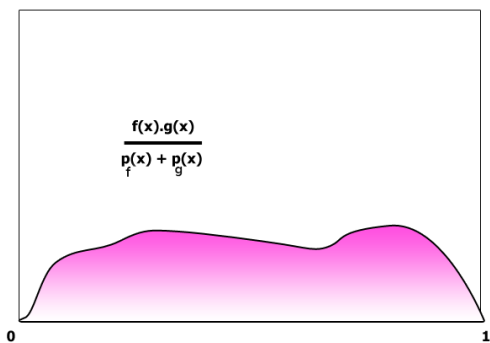


Obr. 10: priebeh funkcie $f(x)g(x)$ vzorkovacie funkcie $p_f(x)$ a $p_g(x)$ úmerné príslušným funkciám, aby zároveň platilo $\int p_f(x)dx = 1$ a $\int p_g(x)dx = 1$

Zvoľme váhu ako aritmetický priemer funkcií.



Obr. 11: výsledok po použití heuristiky, ktorá využíva hodnoty z aritmetického priemeru



Obr. 12: výsledok pri použití vyrovnanej heuristiky